

撓性空間原理應用

楊顯彰

一、前言

所謂撓性空間原理 (Principle of Flexible Space) (亦可稱爲等效自由體圖原理)，就是使運動在不同方向的物體經撓曲運動在同一直線方向，可以用代數和或差運算，簡化了計算過程。所謂「撓性」(Flexibility)一詞，定義爲空間內函的放大或縮小，或位置的改變；空間 (Space) 一詞，則爲一種想像的區域，此區域內可能包含有質量、力量、速度及加速度等。本文將對此原理之導出及如何應用於工程學 (如應用力學，流體力學，電工學等) 運動之計算，作有系統介紹與討論，進而做爲三度空間運動系統之研究與應用。

二、切線定理與位置撓曲

如圖 2-1 所示之簡單裝置，A B 是一段可彎曲但不能伸長的線，C D 是兩個固定的剛性物體，在線的 A B 兩端各加拉力 T_1 和 T_2 。圖 2-2 a 是代表線 A B 的自由體圖，圖 2-2 b 是其微分圖，各微分量的表示如下， dF 表示線與接觸物的摩擦力，其方向沿著線， dN 表示線與接觸物之間的正壓力， a_t 表示線的切線加速度， dm 表示線的質量， T 表示張力則：

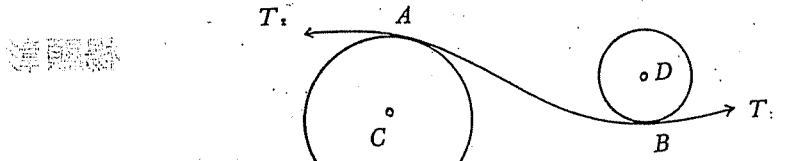
$$(T+dT)\cos d\left(\frac{\theta}{2}\right)-T\cos d\left(\frac{\theta}{2}\right)-dF=a_t dm$$

$$\frac{dT}{dF} = \frac{a_t dm}{\cos d\left(\frac{\theta}{2}\right)}$$

$$\text{設 } \cos d\left(\frac{\theta}{2}\right) \approx 1$$

$$\text{則 } dT-dF = a_t dm$$

$$\int_A^B dT - \int_A^B dF = \int_A^B a_t dm$$



論轉用風》(《古今考略》卷之三十一)。唐李陽冰《李斯碑記》云：

F是表示從A至B沿線方向的全部摩擦力，如果切線方向無加速度，或假設無質量時，則 $a_t = 0$

由(2-1)式,則 $T_1-T_2-F=0$

$$T_1 = T_2 + F \quad \text{等温过程的热力学第一定律} \quad (2-2)$$

由(2-1)式中知線的加速度，只受沿著線方向的力如(T_1, T_2, F)所影響，而與加於線的正壓力 $\int dN$ 無關，此稱為「切線力定理」，假如不改變 T_1, T_2, F 及 m 的大小而只改變C, D的位置及線端A, B的方向，則仍然得到相同的加速度 a_t ，亦即可將圖2-2a的線，作成一直線如圖2-3所示，因為 $\int dN$ 對線之加速度無影響，則無需把 $\int dN$ 顯示在圖上，將圖2-2a改成圖2-3，其位置雖然改變，但其作用相同，我們稱為「線位置撓曲」，圖2-1之空間與圖2-3之空間，可互稱為「撓性空間」。

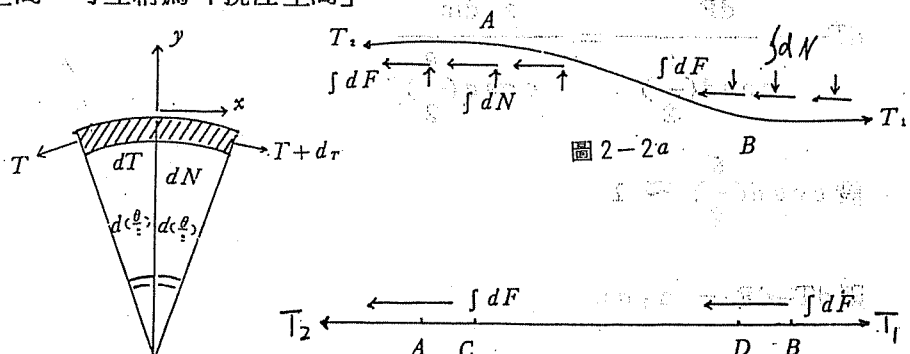


圖 2-26

圖 2-3

三、撓性空間和線撓性係數

如圖 3 - 1 所示，一個二級塔輪以固定之 O 軸作轉動，懸有物體的 A, B 各繞不同的半徑 r_1 及 r_2 。滑輪及線均假定為無質量，物體 C 的質量為 m_1 ，物體 D 的質量為 m_2 ，由此我們將導出「位移撓性係數」，「速度撓性係數」，「力量撓性係數」及「質量撓性係數」之觀念。

T_1 表示線 A 的張力

T_2 表示線 B 的張力

a_1 表示物體 C 的加速度

a_2 表示物體 D 的加速度

F_2 表示外力

由圖 3 - 1 解之

$$m_1 a_1 = m_1 g - T_1 \dots (3 - 1a)$$

$$m_2 a_2 = T_2 - m_2 g - F_2 \dots (3 - 1b)$$

$$a_2 = \left(\frac{r_2}{r_1} \right) a_1 \dots (3 - 1c)$$

$$T_1 = \left(\frac{r_1}{r_2} \right) T_2 \dots (3 - 1d)$$

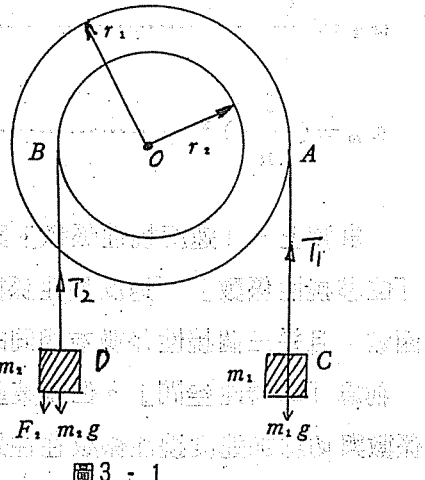


圖 3 - 1

解式 (3 - 1a) 至 (3 - 1d)

$$m_1 g - m_2 \left(\frac{r_2}{r_1} \right) g - F_2 \left(\frac{r_2}{r_1} \right)$$

$$\text{得 } a_1 = \frac{m_1 g - m_2 \left(\frac{r_2}{r_1} \right) g - F_2 \left(\frac{r_2}{r_1} \right)}{m_1 + m_2 \left(\frac{r_2}{r_1} \right)^2} \dots (3 - 2)$$

$$\text{令 } \frac{r_1}{r_2} = n$$

$$\text{則 } a_1 = \frac{\frac{1}{n} m_1 g - \frac{1}{n} m_2 g - \frac{1}{n^2} F_2}{m_1 + \frac{m_2}{n^2}} \dots (3 - 3)$$

參考式(3-3)及(3-4)，我們選擇線A及物體C之邊為空間，訂為「標準空間」，(亦可選另外一邊為標準空間)，而n稱為線B及物體D對標準空間之「位移撓性係數」或「速度撓性係數」或「切線加速度撓性係數」。因此我們定義「位移(或速度或切線加速度)撓性係數」為：標準空間的位移(或速度或切線加速度)與另一空間的位移(或速度或切線加速度)之比。再由式(3-2)，導出「力量撓性係數」 α_f 和「質量撓性係數」 α_m 。

事實上，「速度撓性係數」與「切線加速度撓性係數」是不同的。在某些空間「位移撓性係數」「速度撓性係數」和「切線加速度撓性係數」都是系統機械構的函數，且這三個撓性係數有相同的意義，統稱爲「長度撓性係數」，這種撓性空間，稱爲「單撓性空間」。但在某些空間，撓性係數也是速度的函數，其速度的撓性係數與切線加速度撓性係數往往是不相同的，這種撓性空間稱爲「雙撓性空間」。

首先我們來討論「單撓性空間」，將圖 3-1 之空間撓曲為圖 3-2 之空間，亦即是選擇線 A 及物體 C 為標準空間，而將 m_2 的速度及加速度放大至 n 倍，力量 F_2 縮小至 $\frac{1}{n}$ 倍，質量 m_2 縮小至 $(\frac{1}{n})^2$ 倍，如圖 3-2 所示，假想兩物體是由剛性的無質量的介體所連結，因標準空間與被撓曲後的空間有相同的速度，我們稱此種連結為「同步連結」。由「切線力定理」知，垂直於運動方向的外力，出現在撓曲圖上是無意義的。

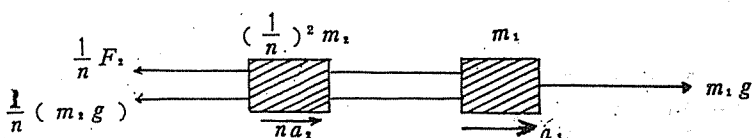


圖 3 - 2

撓曲力量 F ，撓曲質量 M 與標準空間的切線加速度 a 得其關係為 $F = M a$ ，當撓性係數不隨時間改變，且無外力作用時，撓性係數也是遵守動量守恒定理，從撓曲圖上和 $F = M a$ ，我們亦可求出與式(3-3)相同的結果。

$$m_1 g - \frac{1}{n} F_2 = \frac{1}{n} m_2 g$$

$$a_1 = \frac{m_1 + \left(\frac{1}{n}\right)^2 m_2}{m_1 + \left(\frac{1}{n}\right)^2 m_2}$$

$$a_2 = -\frac{1}{n} a_1$$

由上述，可知圖 3-2 不僅位置受撓曲，且其位移，質量皆受撓曲。

設動量 $L = mV$ (V 為速度)，我們將導出「線動量撓性係數」 α_L ，

設能量 $E = \frac{1}{2}mv^2$ ，由此導出「動能撓性係數」 α_E ：

$$\therefore \alpha_E = \alpha_m \cdot n^2 = \left(\frac{1}{n}\right)^2 \cdot n^2 = 1 \text{ 距離} \quad (3-8)$$

或 $E = F \cdot S$ (S 為 F 力量之線位移)

$$E = \alpha_f \cdot n = \left(\frac{1}{n}\right) \cdot n = 1$$

》應用《

考慮圖 3-3 之例題，設 A, B 為兩無質量之滑輪，線繞過滑輪 A 及 B，而一端固定於 O 點，C, D 物體質量各為 m_1 , m_2 假設原來都在速度等於零之狀態求
 (1) 加速度 (2) t_1 秒鐘後之速度 (3) 在 t_1 秒鐘後，物體 D 與質量 m_3 的物體 H (原來在靜止狀態) 相碰撞，求撞擊之速度。假設為中心直接撞擊 (Central and direct Impact) 及完全塑性撞擊，在撞擊後物體 C 的速度仍然兩倍於物體 D。
 (4) 如問題(3)但非完全塑性撞擊，撞擊後物體 H 之速度為 V (5) t_1 秒鐘後來撞擊

前的動能。

圖 3-3 為一最簡單的機械系統，由物體 A、B、C、D 及地盤所組成。

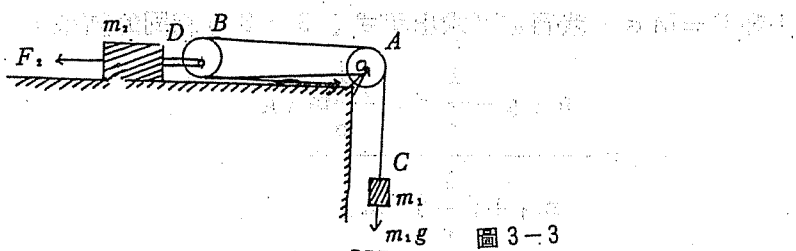


圖 3-3

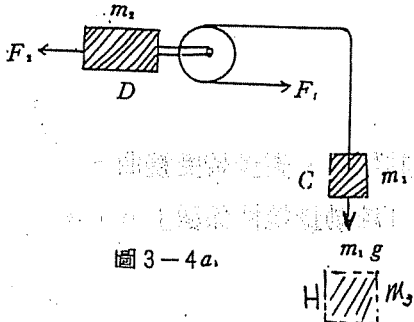


圖 3-4a

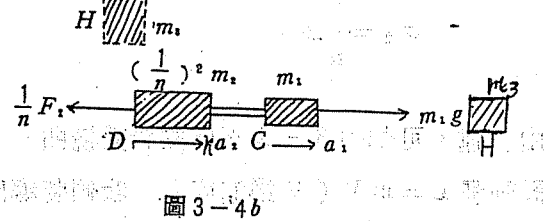


圖 3-4b

》解《

圖 3-4a 之自由體圖 (Free body diagram) 上，可以不顯示垂直於運動方向的外力。選擇物體 C 作為標準空間，由系統的機構結構，很明顯的可知，物體 D 的速度或加速為物體 C 的一半，因此物體 D 的長度撓性係數 $n = 2$ ，線之一端 0 點，固定不動，有無限大的長度撓性係數 ($n = \infty$) 和等於零的力量撓性係數 ($\alpha_f = \frac{1}{n} = \frac{1}{\infty} = 0$)，故作用於此點之外力 F_1 經撓曲後等於零。圖 3-4b 為圖 3-4a 之撓性空間圖。

(1) 由撓曲圖圖 3-4b 可立刻求出物體 C 的速度 a_1 ，

$$a_1 = \frac{1}{m_1 g - \frac{1}{2} F_2} \quad [\because \alpha_f = \frac{1}{n} = \frac{1}{2}, \quad \alpha_m = (\frac{1}{n})^2 = (\frac{1}{2})^2 = \frac{1}{4}]$$

$$a_2 = \frac{a_1}{2} = \frac{\frac{1}{m_1 g - \frac{1}{2} F_2}}{2} \quad [\because \alpha_2 = \frac{1}{n}]$$

$$a_2 = \frac{a_1}{2} = \frac{\frac{1}{m_1 g - \frac{1}{2} F_2}}{2} \quad [\because \alpha_2 = \frac{1}{n}]$$

(2) t_1 秒鐘後撓曲係數之動量 $(m_1 g - \frac{1}{2} F_2) t_1$ 。以 V_1 表示物體 C 之速度， V_2 表示物體 D 之實際速度，根據動量原理 $F \Delta t = m \Delta V$ 則 V 則：

$$(m_1 g - \frac{1}{2} F_2) t_1 = (m_1 + \frac{1}{4} m_2) V_1$$

$$(m_1 g - \frac{1}{2} F_2) t_1 = \frac{1}{2} (m_1 + \frac{1}{4} m_2) V_1$$

$$V_1 = \frac{(m_1 g - \frac{1}{2} F_2) t_1}{m_1 + \frac{1}{4} m_2}$$

$$V_2 = \frac{\frac{1}{2} V_1}{m_1 + \frac{1}{4} m_2}$$

在未解問題(3)之前，我們再介紹「系統關係定理」，所謂「系統關係定理」可定義為：當兩互相碰撞的系統，其撓性系數相同於完全塑性碰撞後的值；而動量的正，負以完全塑性碰撞後之方向為正。如圖 3-3 由物體 H 組成的系統及由物 D 及 C 組成的系統在碰撞前其撓性系統之動量為 $(m_1 g - \frac{1}{2} F_2) t_1$ 。依「系統關係定理」H 物體的長度撓性係數為 $n = 2$ ，撞擊後撓性系統之質量為 $m_1 + (\frac{1}{n})^2 m_2 + (\frac{1}{n})^2 m_3 = m_1 + (\frac{1}{2})^2 m_2 + (\frac{1}{2})^2 m_3 = m_1 + \frac{1}{4} m_2 + \frac{1}{4} m_3$ ，我們立刻可求出撞擊後物體 C 之速度 V_1' 。

$$V_1' = \frac{(m_1 g - \frac{1}{2} F_2) t_1}{m_1 + \frac{1}{4} m_2 + \frac{1}{4} m_3}$$

若不應用「撓性空間原理」，則其計算步驟較煩雜，如下列所解：

L 表示物體 C 撞擊前後之動量差

n 為物體 C 與 D 之速度比，即為撓性係數

v' 表示撞擊後之速度

物體 D 與 H 之動量，撞擊前後的差應為 $n L$ 。外接圓：取成數量一時互變動，發射射線與外接圓相切時，則數列會對稱且相應。

$$\text{則 } V_1' = nV_2', \quad V_1' = \frac{m_1 V_1 - L}{m_1}, \quad V_2' = \frac{m_2 V_2 + nL}{m_2 + m_3}$$

$$\text{故 } \frac{m_1 V_1 - L}{m_1} = n \frac{m_2 V_1 (\frac{1}{n}) + nL}{m_2 + m_3} = \frac{m_2 V_1 + n^2 L}{m_2 + m_3}$$

$$L = -\frac{m_1 m_3}{n^2 m_1 + m_2 + m_3} V_1$$

$$V_1' = \frac{m_1 V_1 - L}{m_1} = \frac{\frac{1}{n^2} m_2 + m_1}{\frac{1}{n^2} (m_2 + m_3) + m_1} V_1$$

$$(m_1 g - \frac{1}{2} F_2) t_1$$

$$\text{以 } n = 2, V_1 = \frac{1}{m_1 + \frac{1}{4} m_2} \text{ 代入上式}$$

$$(m_1 g - \frac{1}{2} F_2) t_1$$

$$\text{得 } V_1' = \frac{1}{m_1 + \frac{1}{4} m_2 + \frac{1}{4} m_3}$$

其結果與使用「撓性空間原理」所計算得之結果相同。

(3) 以 L_3 表示撞擊後物體 H 之撓性動量

$$L_3 = \frac{1}{n} (m_3 V_3) = \frac{1}{2} m_3 V_3$$

$$\text{或 } L_3 = (\frac{1}{n^2} m_3) (n V_2) = \frac{1}{n} m_3 V_3 = \frac{1}{2} m_3 V_3$$

$$(m_1 g - \frac{1}{2} F_2) t_1 - \frac{1}{2} m_3 V_3$$

$$\text{故 } V_1' = \frac{1}{m_1 + \frac{1}{4} m_2}$$

雖然物體 C 與 D 分別運動在水平方向和垂直方向，他們的實際動量方向是不相同的，但應用「撓性空間原理」可將動量方向經撓曲後，轉變在同一直線方向，而以代

數和或差運算，此為「撓性空間原理」的特徵之一。

(5) 既然動能撓性係數 $\alpha_E = 1$ ，故可直接求出未碰撞前的系統動能 E，由 $E = \frac{1}{2} MV^2$ ，則

$$E = \frac{1}{2} \left(m_1 + \frac{1}{4} m_2 \right) \left[\frac{1}{m_1 + \frac{1}{4} m_2} \frac{(m_1 g - \frac{1}{2} F_2)^2 t_1^2}{\frac{1}{4} m_2} \right] = \frac{1}{2} \left(m_1 + \frac{1}{4} m_2 \right) \frac{(m_1 g - \frac{1}{2} F_2)^2 t_1^2}{\frac{1}{4} m_2}$$

為了熟悉撓性空間原理的應用，我們以另一方法求動能 E 首先求出物體 C 之位

移 S，

$$S = \frac{1}{2} V_1 t_1 = \frac{1}{2} \frac{(m_1 g - \frac{1}{2} F_2) t_1^2}{m_1 + \frac{1}{4} m_2}$$

$$E = (\Sigma F) S = (m_1 g - \frac{1}{2} F_2) S = \frac{1}{2} \frac{(m_1 g - \frac{1}{2} F_2)^2 t_1^2}{m_1 + \frac{1}{4} m_2}$$

》例《

考慮圖 3-5 a 之滑輪系統，兩滑輪都可以固定軸轉動，滑輪 D 有兩個半徑，滑輪及線都假設為無質量。[解] 以物體 A 為標準空間，圖 3-5 b 為此滑輪系統之撓曲圖，由此很容易發現：

$$n_2 = 1, \quad n_1 = \frac{r_3}{r_1}$$

以 a_3 表示物體 A 之加速度，因此

$$a_3 = \frac{m_3 g - m_2 g - \left(\frac{r_1}{r_3}\right) m_1 g - \left(\frac{r_1}{r_3}\right) F_1}{m_3 + m_2 + \left(\frac{r_1}{r_3}\right)^2 m_1}$$

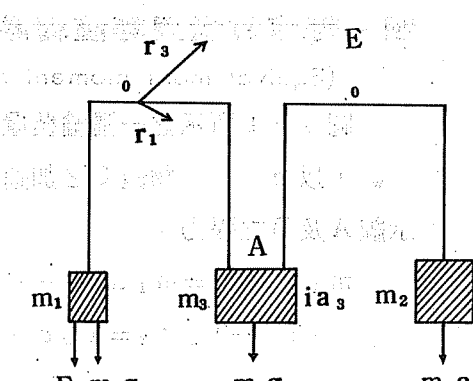


圖 3-5a

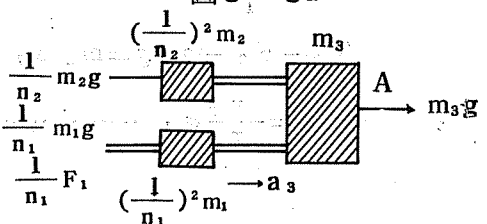


圖 3-5b

例題《圖中，三物體A、B、C由兩無質量的剛性桿用銷連結。D銷固定不動。物體A可沿水平溝槽滑動，物體A及B原係靜止狀態，物體C之速度為水平方向 v_3 。物體C與物體A發生碰撞，求碰撞後物體A之速度 v_1' 。假設完全塑性碰撞，忽略摩擦力。

[解]：選擇 A 為標準空間，畫撓曲圖如圖

3 - 6 b，碰撞前撓曲動量為 $m_3 v_3$ v_2 ，碰撞後物體 A 之速度 v_1' 表示，則

$$v_1' \left(m_1 + \frac{1}{n^2} m_2 + m_3 \right) = m_3 v_3$$

$$v_1' = \frac{m_3 v_3}{m_1 + \frac{1}{n^2} m_2 + m_3}$$

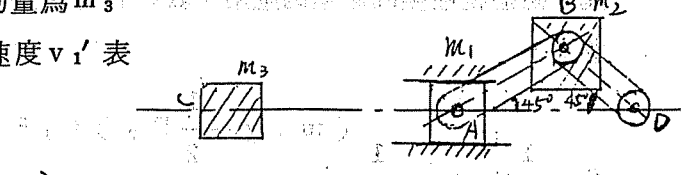


圖 3-6 a

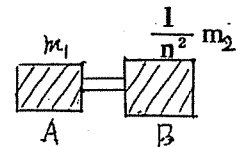
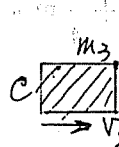


圖 3-6 b

由速度圖 3-6 c， $n = \frac{v_A}{v_B} = v_2$ ， n 值代入 v_1'

$$\text{得 } v_1' = \frac{m_3 v_3}{m_1 + \frac{1}{n^2} m_2 + m_3}$$

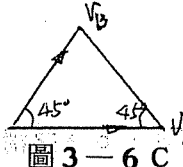


圖 3-6 c

由以上例題可知應用此原理，很容易即可求出所需之解。

四、等值質量與等值轉動慣量

(Equivalent mass moment of inertia.)

圖 4 - 1 所示之一滑輪裝置，滑輪具有兩半徑，可以軸 O 作轉動；其轉動慣量 I_w ，以 a_1 表示物體 C 之加速度， a_2 表示物體 D 之加速度， T_1 及 T_2 分別表示線 A 及 B 之張力。

$$m_1 g - T_1 = m_1 a_1 \quad (4 - 1 a)$$

$$T_1 r_1 - T_2 r_2 = I_w \alpha \quad (4 - 1 b)$$

$$\alpha = \frac{a_1}{r_1} \quad (4 - 1 c)$$

$$T_2 - F_2 - m_2 g = m_2 a_2 \quad (4 - 1 d)$$

$$a_2 = \frac{r_2}{r_1} a_1 \quad (4 - 1 e)$$

解上式得：

$$\alpha = \frac{m_1 g r_1 - F_2 r_2 - m_2 g r_2}{I_w + m_1 r_1^2 + m_2 r_2^2} \quad (4-2)$$

$$a_1 = \frac{m_1 g - F_2 \frac{r_2}{r_1} - m_2 g \frac{r_2}{r_1}}{\frac{I_w}{r_1^2} + m_1 + m_2 (\frac{r_2}{r_1})^2} \quad (4-3)$$

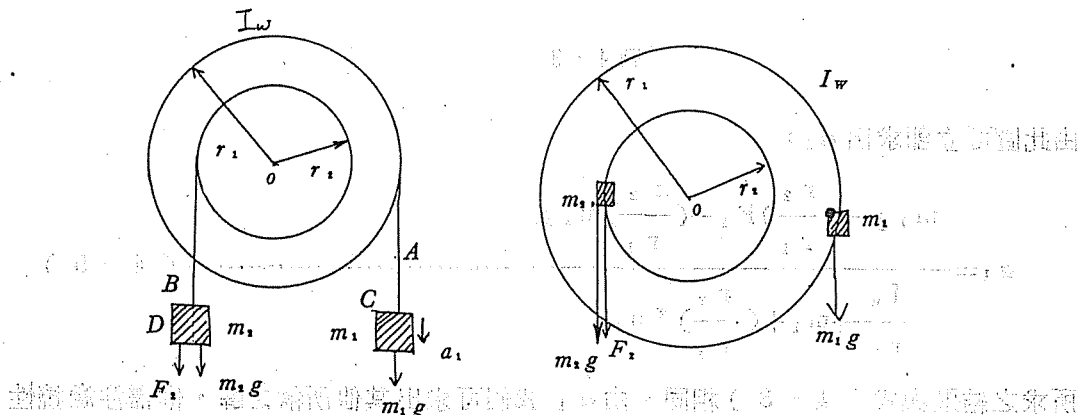


圖 4-1

圖 4-2

在式(4-2)中， $m_1 r_1^2$ 和 $m_2 r_2^2$ 我們分別稱為質量 m_1 m_2 的等值轉動慣量，亦即假想 m_1 m_2 分別附着在半徑 r_1 及 r_2 的地方，其等值圖如圖 4-2 應注意的是此等值圖是瞬時的，由此等值圖，可知整個系統對 O 點有一力矩 M_0 存在。

$$M_0 = m_1 g r_1 - F_2 r_2 - m_2 g r_2$$

而整個系統之等值轉動慣量為 I

$$I = I_w + m_1 r_1^2 + m_2 r_2^2 \text{，因此；}$$

$$\alpha = \frac{M_0}{I} = \frac{m_1 g r_1 - F_2 r_2 - m_2 g r_2}{I_w + m_1 r_1^2 + m_2 r_2^2} \quad (4-4)$$

注意式(4-4)與(4-2)相同

在式(4-3)中， $\frac{I_w}{r_1^2}$ 這項被稱為 I_w 的等質質量，我們可想像具有質量 $\frac{I_w}{r_1^2}$

之物體在半徑 r_1 地方與半徑 r_2 地方有同樣的速度。現在我們選擇物體 C 為標準空間；然後，想像的物體便有長度撓性係數 $n = 1$ ，而物體 D 的長度撓性係數 $n = \frac{r_1}{r_2}$ ，由此我們可畫圖 4-1 系統的「等值和撓性複合圖」，如圖 4-3 所示，

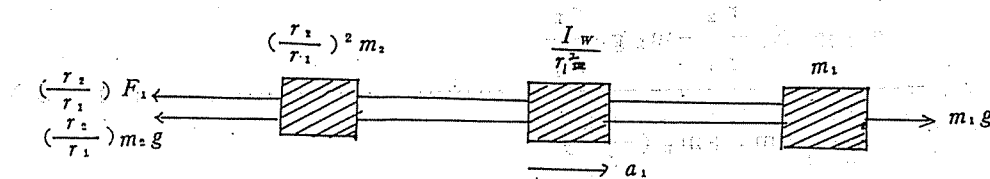


圖 4-3

由此圖可立即求出 a_1 ：

$$a_1 = \frac{m_1 g - (\frac{r_2}{r_1}) F_1 - (\frac{r_2}{r_1}) m_2 g}{\frac{I_w}{r_1^2} + m_1 + (\frac{r_2}{r_1})^2 m_2} \quad (4-5)$$

所求之結果與式 (4-3) 相同，由 a_1 我們可求出其他所欲之解，惟需注意撓性係數之參與。

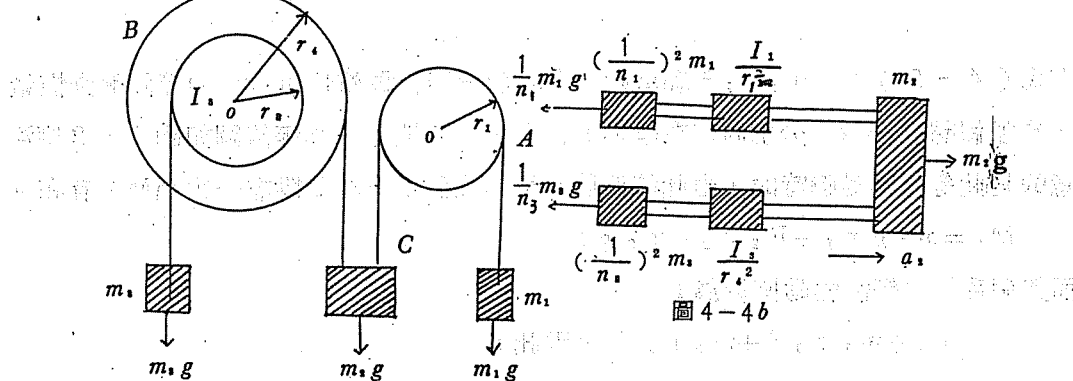


圖 4-4a

圖 4-4b

考慮圖 4 - 4 a 之間題，滑輪的質量不能被忽略，線假設為無質量。應用此原理，圖 4 - 4 a 之滑輪系統可畫成等值和撓性複合圖如圖 4 - 4 b， $n_1 = 1$, $n_3 = \frac{r_4}{r_3}$ ，由圖 4 - 4 b 我們立即可求出物體 C 之加速度 a_2 。

$$m_2 g - m_1 g = m_3 g \quad \text{--- (4 - 5)}$$

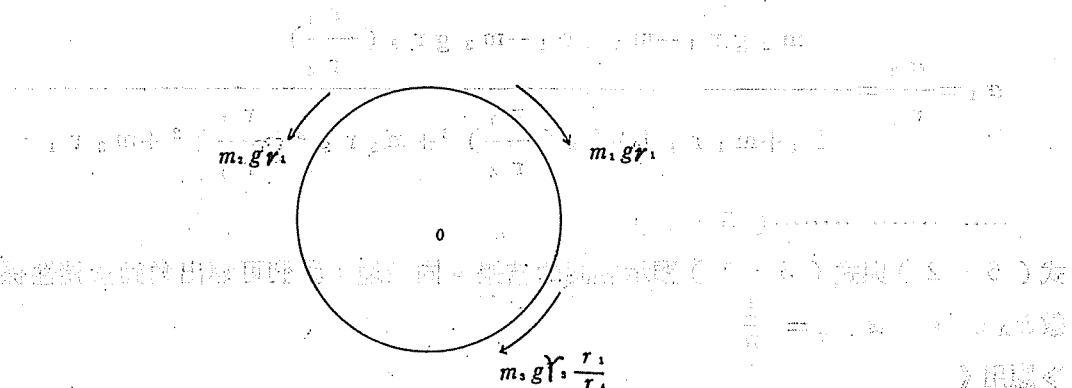
$$\alpha_2 = \frac{I_1 \alpha + I_3 \alpha}{m_2 + m_1 + \frac{m_3 r_3^2}{r_4^2} + (\frac{m_3 r_3}{r_4})^2 m_3} \quad \text{--- (4 - 6)}$$

由上式可得 $\alpha_2 = \frac{I_1 \alpha + I_3 \alpha}{m_2 + m_1 + \frac{m_3 r_3^2}{r_4^2} + (\frac{m_3 r_3}{r_4})^2 m_3}$

五、角撓性空間

圖 4 - 4 a 之滑輪 A 及 B 可以轉動在其固定之中心軸上，我們將分別稱 A 及 B 滑輪為角空間，在此指定滑輪 A 為標準角空間，我們將定義角位移（或角速度或角加速度）撓性係數 n 為標準角空間之角速度（或角加速度）與另一角空間之角速度（或角加速度）之比。其意義在使兩空間轉變為相同之角速度或角加速度。類似於第 2 節所述之過程，我們可導出力矩撓性係數 $\alpha_{m0} = \frac{1}{n}$ 轉動慣量撓性係數 $\alpha_1 = (\frac{1}{n})^2$

圖 4 - 4 a 之系統，以滑輪 A 為標準角空間，可被轉變為等值和撓性複合圖如圖 5 - 1 所示。



由上圖可得 $I_1 + I_3 + (\frac{r_1}{r_4})^2 m_1 r_1^2 + m_3 r_4^2 + m_3 r_4^2 (\frac{r_1}{r_4})^2 + m_3 r_1^2$

在構造等值及撓性複合圖過程中， $m_2 g$ 可直接化爲等值力矩 $m_2 g r_1$ 或先化爲等值力矩 $m_2 g r_4$ ，然後再乘以力矩撓性係數 α_{m0} ($\alpha_{m0} = \frac{1}{n}$)，角速度撓性係數 $n = \frac{r_4}{r_1}$ ， $\therefore \alpha_{m0} = \frac{r_1}{r_4}$)。同樣可得其等值力矩 $m_2 g r_1 \cdot m_3$ 先化爲等值轉動慣量 $m_3 r_3^2$ ，再化爲「等值及撓性複合轉動慣量」亦即 $m_3 r_3^2$ 乘以轉動慣量撓性係數 α_1 ，因此 m_3 之撓性及等值複合轉動慣量爲 $m_3 r_3^2 (\frac{r_1}{r_4})^2$ 。以 α_1 表示滑輪 A 之角加速度，然後從圖 5 - 1 之等值及撓性複合圖可以立即求出 α_1 ，

$$\Sigma M = m_2 g r_1 - m_1 g r_1 - m_3 g r_3 (\frac{r_1}{r_4})$$

$$\Sigma I = I_1 + m_1 r_1^2 + I_3 (\frac{r_1}{r_4})^2 + m_3 r_3^2 (\frac{r_1}{r_4})^2$$

$$\Sigma M = m_2 g r_1 - m_1 g r_1 - m_3 g r_3 (\frac{r_1}{r_4})$$

$$\alpha_1 = \frac{\alpha_2}{\Sigma I} = \frac{m_2 g r_1 - m_1 g r_1 - m_3 g r_3 (\frac{r_1}{r_4})}{I_1 + m_1 r_1^2 + I_3 (\frac{r_1}{r_4})^2 + m_3 r_3^2 (\frac{r_1}{r_4})^2 + m_2 r_1^2}$$

.....(5 - 1)

我們亦可由 (4 - 6) 式中求出 α_1 ，

$$\alpha_1 = \frac{\alpha_2}{r_1} = \frac{m_2 g r_1 - m_1 g r_1 - m_3 g r_3 (\frac{r_1}{r_4})}{I_1 + m_1 r_1^2 + I_3 (\frac{r_1}{r_4})^2 + m_3 r_3^2 (\frac{r_1}{r_4})^2 + m_3 r_1^2}$$

.....(5 - 2)

式 (5 - 2) 與式 (5 - 1) 顯示相同的結果。同樣地，我們可導出角動量撓性係數 α_{AL} ， $\alpha_{AL} = \frac{1}{n}$

》應用《

考慮圖 5 - 2 a 之間題，鏈輪 G_1, G_2, G_3 及 G_4 各具有轉動慣量 I_1, I_2, I_3 及 I_4 。鏈條 C_1 連結 G_1 與 G_2 ，鏈條 C_2 連結 G_3 與 G_4 ，鏈條 C_1 及 C_2 各具有質量 m_1 及 m_2 。各鏈輪可在軸上轉動。鏈輪 G_2 及 G_3 是用一套離合器連結，在離合器未連結前，鏈輪 G_2 與 G_3 各互不作用，連結後此兩鏈輪應以等角速度轉動在 B 軸上，假設在未連結前鏈輪 G_1 的角速度爲順時鐘方向 α_1 ，鏈輪 G_3 的角速度爲反時鐘方向 α_3 。求突然連結後鏈輪 G_1 之角速度 α_1 ，忽略摩擦力的損失。

》解《

撓性空間原理的最大特點，是使運動在不同方向的物體，經撓曲運動在同一直線方向。當離合器連結後，雖然鏈輪 G_2 與 G_3 有相同的角速度，但鏈條的速度是不同的。參考第二節所述的「系統關係定理」，我們可發現速度撓性係數 $n = \frac{r_2}{r_3}$ ，我們畫撓性及等值複合圖於圖 5-2 b；

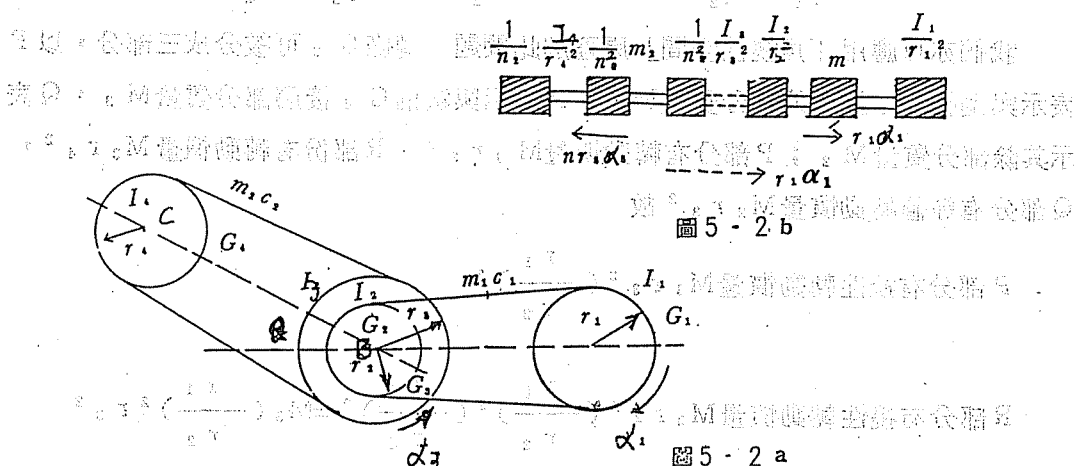


圖 5-2 b

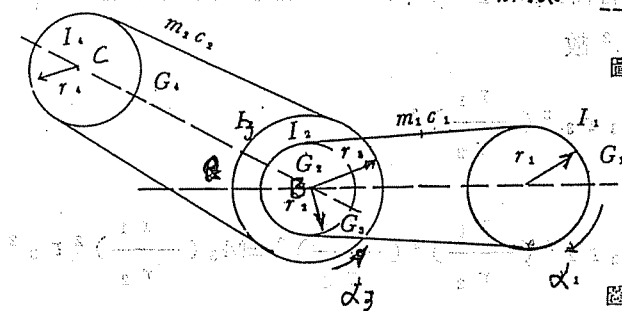


圖 5-2 a

在未連結前之撓性動量是：

$$L = r_1 \alpha_1 \left(\frac{I_1}{r_1^2} + \frac{I_2}{r_2^2} + m_1 \right) - r_3 \alpha_3 \left(\frac{I_3}{r_3^2} + \frac{I_4}{r_4^2} + m_2 \right)$$

連結後之撓性動量是：

$$L' = r_1 \alpha' \left[\left(\frac{I_1}{r_1^2} + \frac{I_2}{r_2^2} + m_1 \right) + \frac{1}{n^2} \left(\frac{I_3}{r_3^2} + \frac{I_4}{r_4^2} + m_2 \right) \right]$$

$$L = L' \quad \text{故}$$

$$\alpha' = \frac{1}{r_1} \left[\frac{r_1 \alpha_1 \left(\frac{I_1}{r_1^2} + \frac{I_2}{r_2^2} + m_1 \right) - \frac{1}{n} r_3 \alpha_3 \left(\frac{I_3}{r_3^2} + \frac{I_4}{r_4^2} + m_2 \right)}{\left(\frac{I_1}{r_1^2} + \frac{I_2}{r_2^2} + m_1 \right) + \frac{1}{n^2} \left(\frac{I_3}{r_3^2} + \frac{I_4}{r_4^2} + m_2 \right)} \right]$$

我們亦可應用「角撓性空間」原理解此問題，鏈條 G_2 可被分成三部分，以 P 表示與鏈輪 G_3 接觸的部分質量 M_1 ， R 表示與鏈輪 G_4 接觸部分質量 M_3 ， Q 表示其餘部分質量 M_2 ； P 部分有轉動慣量 $M_1 r_3^2$ ， R 部份有轉動慣量 $M_3 r_4^2$ ， Q 部分有等值轉動慣量 $M_2 r_3^2$ 故

$$P \text{ 部分有撓性轉動慣量 } M_1 r_3^2 \left(\frac{r_1}{r_2} \right)^2$$

$$R \text{ 部分有撓性轉動慣量 } M_3 r_4^2 \left(\frac{r_1}{r_2} \right)^2 \left(\frac{r_3}{r_4} \right)^2 = M_3 \left(\frac{r_1}{r_2} \right)^2 r_3^2$$

Q部分有等值及撓性複合轉動慣量 $M_3 r_3^2 \left(\frac{r_1}{r_2} \right)^2$

將此三部分加起來，我們有鏈條 C_2 的等值及撓性複合轉動慣量 $m_2 r_3^2 \left(\frac{r_1}{r_2} \right)^2$ ，其餘過程同理，最後會得到相同的結果。

六、雙撓性空間

前面所討論的是單撓性空間，往下我們來討論雙撓性空間。雙撓性空間的撓性係數是速度的函數，非僅是機械構造的函數。在雙撓性空間，速度撓性係數是兩空間的速度比，而切線加速度撓性係數是兩空間的切線加速度之比，兩者有不同的大小。以 n_v 表示速度撓性係數， n_a 表示切線加速度撓性係數， α_m 表示質量撓性係數， α_f 表示力量撓性係數， α_{KE} 表示動能撓性係數， $\alpha_m v$ 表示動量撓性係數；則其各係數有下列關係：

$$\alpha_{m_1} = \frac{1}{n_a n_a} \quad (6-2)$$

由圖 6-1 當 $\alpha_{KE} = \frac{1}{n_a n_a^2}$ [動能 = 質量 \times 速度²]，
 $\alpha_{KE} = \frac{n_a}{n_a n_a}$ [動能 = 質量 \times 速度²]。
 $\alpha_{mv} = \frac{1}{n_a}$ [動量 = 質量 \times 速度]。
 n_a 是質量強其對應的動量。

$$\alpha_{mv} = \frac{1}{n_a} \quad (6-4)$$

當 n_a 與 n_a 相同時式 (6-1) 至 (6-4) 將與單撓性空間有相同的關係，我們必需強調的是撓性空間原理所關係的加速度只有切線加速度，而與向心加速度無關。

考慮圖 6-1 a 之間題，水平外力 F 作用於圓盤中心，圓盤之質量為 m ，轉動慣量為 I ，半徑為 r ，圓盤與地面無滑動情形，求圓盤中心的加速度 a 。

6-1 a 圖 6-1 a 的問題是：一車輪與地無滑動，試問它在 F 作用下
 加速度為何？

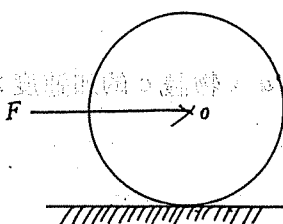


圖 6-1 a

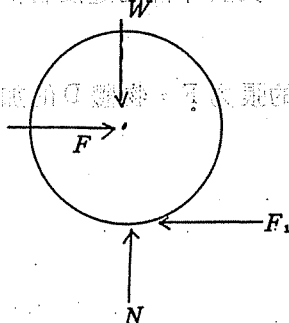


圖 6-1 b

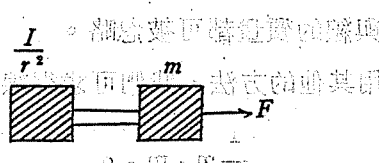


圖 6-1 c

圓盤的運動可視為兩種運動複合而成，一為圓盤中心沿水平方向的運動，一為繞圓盤中心的運動，其等值質量假設為 $\frac{1}{r_1^2}$ ；圓盤中心的直線速度假設為 V ，然後圓盤角速度為 $\frac{V}{r}$ ，而繞圓盤中心轉動的等值質量之速度為 $\frac{Vr_1}{r}$ ，因此導出速度撓性係數 $n = \frac{V}{Vr_1} = \frac{r}{r_1}$ ，如把 V 代換為切線加速度 a ，同樣得到切線加速度撓性。

係數 $n = \frac{r}{r_1}$ ，因此本題之等值質量 $\frac{I}{r_1^2}$ 之撓性為單撓性者。圖 6-1 b 為自由

體圖圖 6 - 1 c 為等值及撓性複合圖，圓盤的重力 W 垂直於運動方向，故在自由體圖上無需顯現。圓盤與地面的接觸點 A，其速度為零，但其切線加速度並非為零，而是隨著圓盤的速度而改變，故 A 點之撓性為雙撓性者，很幸運，切線加速度者撓性係數並未參與所要解決的問題內，否則問題會很複雜，既然 A 點的速度為零，故有無限大的速度撓性係數和等於零的力量撓性係數，故作用於 A 點的外力 N 和 F_1 (經撓曲後亦變為零。等值質量 $\frac{1}{r_1^2}$ 在撓曲之後其撓性質量為 $\frac{1}{r_2^2}$)

$$\frac{1}{n^2} \cdot \frac{I}{r_1^2} = \frac{I}{r^2}$$

當然，我們在實際解題，可直接假設等值質量爲 $\frac{I}{r^2}$ ，且導出速度撓性係數 $n = 1$ ，由撓曲圖圖 5-1c，可求得圓盤中心之加速度 a ：

F **a** = $\frac{m+1}{m-1}$ **當** **m** **為** **奇** **數** **時** **a** **為** **有理數** **且** **a** **為** **整數** **或** **±1** **之** **倍數** **當** **m** **為** **偶** **數** **時** **a** **為** **無理數**

考慮圖 6-2 a 之問題，以等速前進的車廂內有一組滑輪裝置（類似圖 3-3），在 $t = t_1$ 時，物體 C，D 對於車廂的速度各為 $2V'$ ， V' ，摩擦力，滑輪與線的質量都可被忽略。

用其他的方法，我們可求得線的張力 F ，物體 D 的加速度 a ，物體 c 的加速度 $2a$ 。

體制之變，實為中國政治上一大變動。但就其變動之原因，則又可分爲兩種：一、由於社會經濟之變動；二、由於政治上之變動。

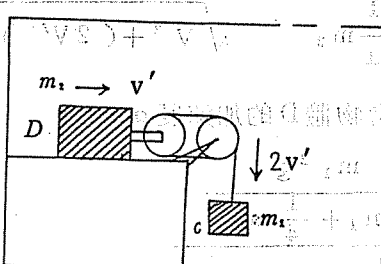


圖 6-2b。鏈接立體過由

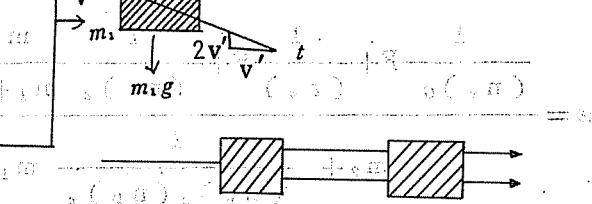


圖 6-2c

現在我們要用已知的答案 F ，以雙撓性空間原理來解出物體 D 的加速度 a ，以檢驗雙撓性原理。圖 6-2b 是圖 6-2a 的自由體圖，如同前述，垂直於運動路線的力量不顯示在圖上，直線 $t-t$ 是物體 C 在 $t=t_1$ 時之運動方向，當 $t=t_1$ 時，物體 D 的速度是 $V+V'$ ，G 點的速度為 $u+2V'$ ，O 點的速度為 V ，物體 C 的速度為 $\sqrt{V^2+(2V')^2}$ ，我們以物體 D 為標準空間，各空間的速度撓性係數如下：

$$(n_v)_G = \frac{V+V'}{V+2V'}, \quad (n_v)_D = \frac{V+V'}{V}, \quad (n_v)_C = \frac{V+V'}{\sqrt{V^2+(2V')^2}}$$

當物體 D 的加速度為 a 時，物體 C 的加速度應為 $2a$ ，但物體 C 沿切線 $t-t$ 的切線加速度應為 $\frac{2a \cdot 2V}{\sqrt{V^2+(2V')^2}}$ ，故物體 C 的切線加速度撓性係數 $(n_a)_C$ ，

$$(n_a)_C = \frac{\sqrt{V^2+(2V')^2}}{4V'}$$

依切線力定理，我們必需要把作用在物體 C 的外力 F 及 $m_C g$ 投射在 $t-t$ 線上，因此沿切線方向作用在物體 C 的淨力為

$$(m_1 g - F) \frac{2V'}{\sqrt{V^2 + (2V')^2}} = \frac{m_1^2 g}{m_1 + \frac{1}{4} m_2} \cdot \frac{2V'}{\sqrt{V^2 + (2V')^2}}$$

由上面之討論，我們畫撓曲圖圖 6 - 3 c，可得物體 D 的加速度 a ，

$$\begin{aligned} a &= \frac{\frac{1}{(n_v)_c} F + \frac{1}{(n_v)_c} F + \frac{1}{(n_v)_c} \frac{m_1^2 g}{m_1 + \frac{1}{4} m_2}}{m_2 + \frac{1}{(n_v)_c (n_D)_c} m_1} \\ &= \frac{\left(\frac{V+2V'+V}{V+V'}\right) \frac{\frac{1}{4} m_1 m_2 g}{m_1 + \frac{1}{4} m_2} + \frac{\sqrt{V^2 + (2V')^2}}{V+V'} \cdot \frac{m_1^2 g}{m_1 + \frac{1}{4} m_2} \cdot \frac{2V'}{\sqrt{V^2 + (2V')^2}}}{m_2 + \frac{\sqrt{V^2 + (2V')^2} \cdot 4V'}{m_1}} \\ &= \frac{\frac{1}{2} m_1 g}{m_2 + \frac{4V'}{m_1 + \frac{1}{4} m_2}} \\ &= \frac{\frac{1}{2} m_1 g}{m_2 + \frac{4V'}{V+V'}} \\ &= \frac{\frac{1}{2} m_1 g}{m_1 + \frac{1}{4} m_2} \end{aligned} \quad (6-6)$$

我們得知式 (6-6) 與 (6-5) 顯示相同的結果。

七、撓性空間原理應用於流體力學和電工學

考慮圖 7-1 之間題 L_{m1}, L_{m2}, L_{m3} 是流線， L_{mm} 是中心流線，假設流體為穩流者不對外作功，且無摩擦。

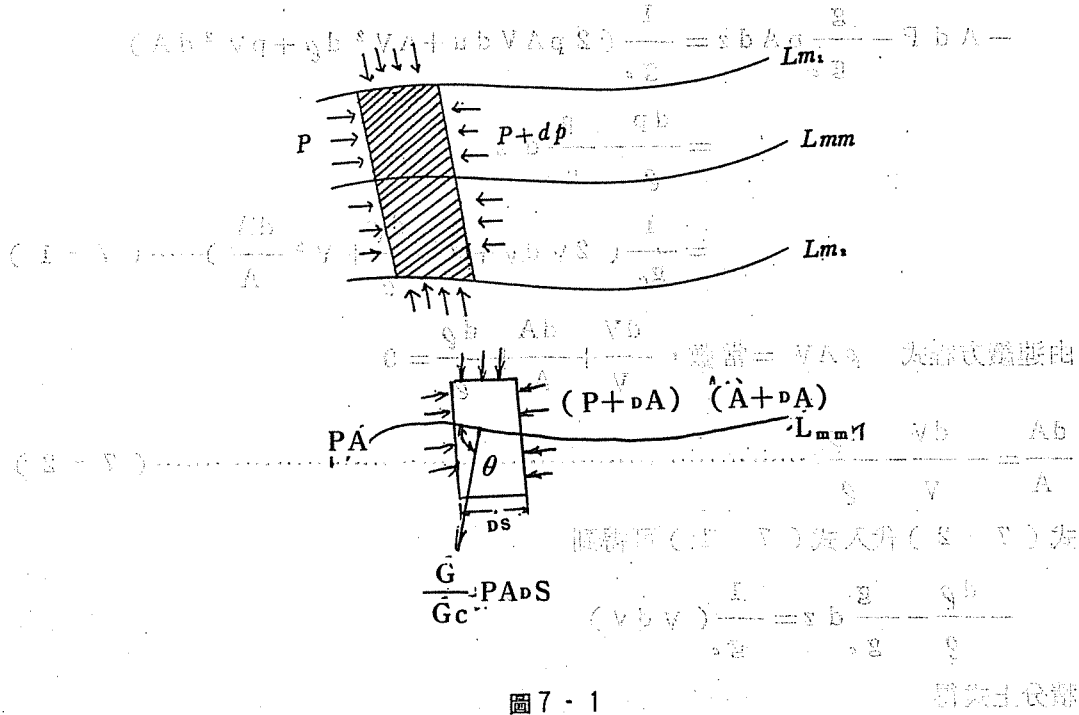


圖 7-1

雖然流線為彎曲者，但我們只考慮沿著流線方向之淨力，而不考慮與流線（中心流線）垂直之力。首先取一體積素，其兩邊截口各為 A 及 $(A + dA)$ ，垂直於中心流線，但其側面各與經過側面的流線平行。作用於體積素側面之壓力在中心流線方向之分力 $P dA$ 。所有作用於體積素之外力在中心流線之分力 ΣF

$$\Sigma F = PA - (P + dP)(A + dA) + P dA \frac{g}{g_c} (pAdScos\theta)$$

$$= -AdP - \frac{g}{g_c} pAdS$$

z ：為高度

$$\text{動量變化 } \Sigma \Delta MV = \left(\frac{\rho + d\rho}{g_c} \right) (A + dA) (V + dV)^2 - \frac{\rho}{g_c} AV^2$$

忽略二次微分項可得

$$\Sigma \Delta MV = \frac{1}{g_c} (2\rho AVdV + AV^2 d\rho + \rho V^2 dA) + \text{其他項}$$

$$\Sigma F = \Sigma \Delta MV$$

$$\begin{aligned}
 -A dP - \frac{g}{g_c} p A dz &= \frac{1}{g_c} (2 p A V du + A V^2 d\ell + p V^2 dA) \\
 &= \frac{dp}{\ell} - \frac{g}{g_c} dz \\
 &= \frac{1}{g_c} (2 V dV + V^2 \frac{d\ell}{\ell} + V^2 \frac{dA}{A}) \dots\dots (7-1)
 \end{aligned}$$

$$\text{由連續方程式 } \rho A V = \text{常數}, \frac{dV}{V} + \frac{dA}{A} + \frac{d\rho}{\rho} = 0$$

式(7-2)代入式(7-1)可得到

$$-\frac{d\ell}{\ell} - \frac{g}{g_c} dz = \frac{1}{g_c} (\nabla dV)$$

積分上式得

$$-\int_{z_1}^{z_2} \frac{d\varrho}{\varrho} - \frac{g}{g_c} \int_{V_1}^{V_2} dz = \frac{1}{g_c} \int_{V_1}^{V_2} V dV$$

設 Q 表示熱傳遞； S 表示熵； h 表示焓； U 表示內能，在可逆過程時，

$$\partial Q = T \cdot dS = p \cdot d\left(\frac{\ell}{\ell}\right) + dU$$

$$dQ = dh - \frac{1}{\rho} dP \quad \frac{d\rho}{\rho} = dh - SQ$$

式(7-4)代入式(7-3)可得

$$(h_2 - h_1) - Q + \frac{g}{g_e} (z_2 - z_1) + \frac{1}{2g_e} (V_2^2 - V_1^2) = 0$$

$$\left(\frac{P_2}{\rho_2} - \frac{P_1}{\rho_1} \right) + (U_2 - U_1) + \frac{g}{g_e} (z_2 - z_1) + \frac{1}{2g_e} (V_2^2 - V_1^2) = Q$$

式(7-5)與用能量守恒原理導出者相同。

我們將更進一步把撓性空間原理應用到電工學問題，我們把電壓對應前述之力量，電流對應到加速度，阻抗對應到質量，因此導出電壓撓性係數 α_{v_0} ，電流撓性係數 α_{c_u} ，阻抗撓性係數 α_{i_m} ，電功率撓性係數 α_{p_w} 。在感應電路（如圖 7-2a），其撓性係數之關係如下：

$$\alpha_{1m} = \left(\frac{1}{\alpha_{en}} \right)^2 \dots \cdot \left(\frac{1}{\alpha_1} \right) \cdot \left(\frac{1}{\alpha_2} \right) \cdot \left(\frac{1}{\alpha_3} \right) \cdot \left(\frac{1}{\alpha_4} \right) \dots \cdot \left(\frac{1}{\alpha_{7m}} \right)$$

$\alpha_{\text{pw}} = 1$ 3.3.8.1.1. (7-8)

考慮圖 7-2(a) 之問題，仿前述之方法，把左邊之電路選擇為標準電路，畫撓曲電路圖如圖 7-2(b)，很明顯的，為何各撓性係數，各有如式(7-6)，(7-7)
(7-8)之關係；當把 A 點與 C 點連接，B 點與 D 點連接，我們把電流 I_2 放大至 $\alpha_{c,u}$ 倍 $\alpha_{c,u} = \frac{I_1}{I_2}$ ，並且把 C 點與 D 點之間的電壓縮小至 $\alpha_{v,u}$ 倍，使得 C 點與 D 點的電壓差經撓曲後與 C，D 點間的電壓差相同且撓曲後的電流與標準電路者相同。既然電壓 E，電流 I，電阻 R 有如式(7-9)之關係，我們亦將有式(7-10)的關係，由式(7-10)，而導出式(7-11)的關係。

$$\alpha_{im} = \frac{\alpha_{v0}}{\alpha_{cu}} = \frac{1}{\alpha_{cu}} = \left(\frac{1}{\alpha_{cu}}\right)^2$$

考慮圖 7-3 a 之問題，選擇 A 電路為標準電路，而各擾性係數如下：

$$(\alpha_{c,u})_B = \frac{I_1}{I_2} = n_2$$

B : 代表 B 電路

$$(\alpha_{c,u})c = \frac{I_1}{I_3} = n_3 \quad C: \text{代表 } C\text{ 電路}$$

$$(\alpha_{1-m})_B = \left(\frac{1}{n^2}\right)^2$$

$$(\alpha_{im})c = \left(\frac{1}{n_3}\right)^2$$

我們畫撓曲電路圖於 7 - 3 b；由圖得下列結果：

$$I_1 = \frac{1}{R_1 + \frac{1}{C_1 s} + L_1 s + \left(\frac{1}{n_3}\right)^2 R_3 + \left(\frac{1}{n_2}\right)^2 (R_2 + \frac{1}{C_2 s} + L_2 s)}$$

$$I_2 = \frac{1}{n_2} I_1, \quad I_3 = \frac{1}{n_3} I_1$$

$$V_{R_2} = n_2 [I_1 \left(\frac{1}{n_2}\right)^2 R_2] = \frac{1}{n_2} I_1 R_2$$

$$\text{功率 } P = E I_1 e^{st}$$

感應電路的撓性係數如式 (7 - 9), (7 - 10) 及 (7 - 11) 所示，但在直接連結的電路如圖 7 - 4 a 所示，則有如式 (7 - 12), (7 - 13) 及 (7 - 14) 之關係：

$$\alpha_{pv0} = 1 \quad (7 - 12)$$

$$\alpha_{im} = \frac{1}{\dim C_2} \quad (7 - 13)$$

$$\alpha_{pw} = \alpha_{cu} \quad (7 - 14)$$

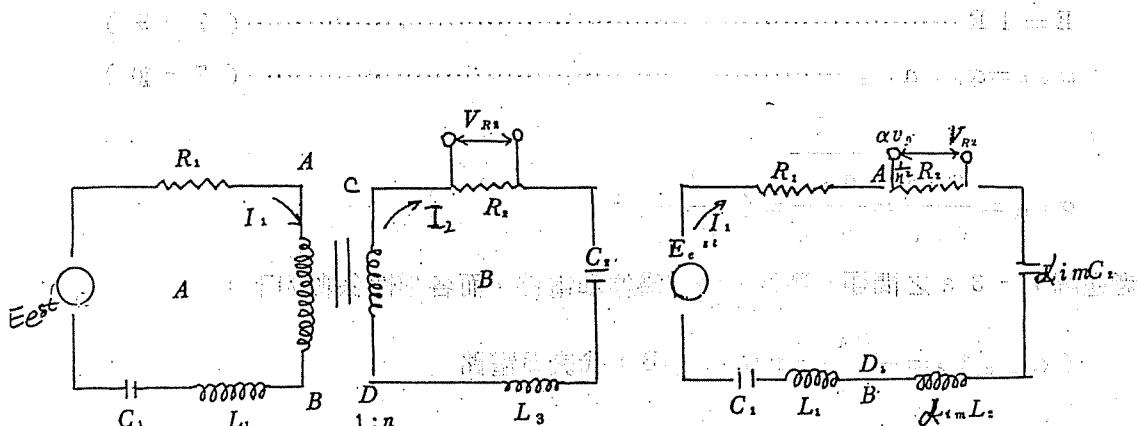


圖 7 - 2 a

圖 7 - 2 b

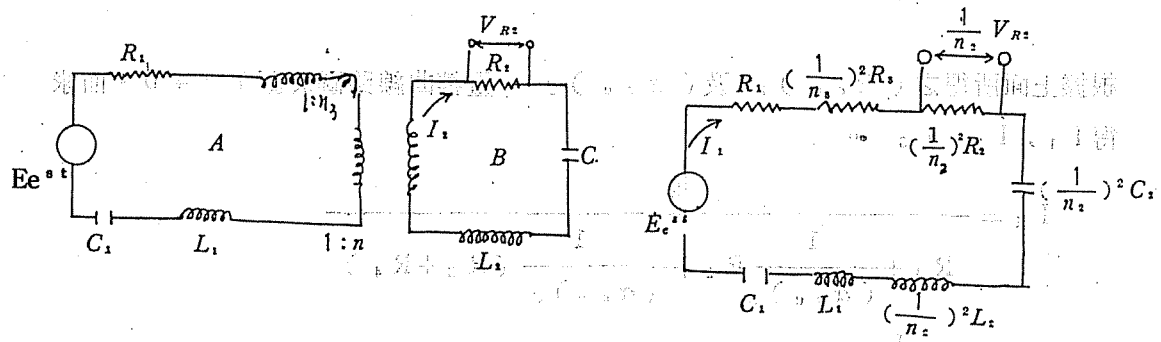


圖 7-3 a

圖 7-3 b

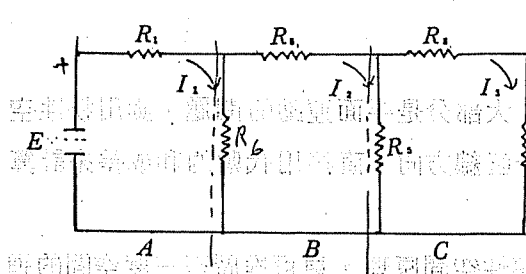


圖 7-4 a

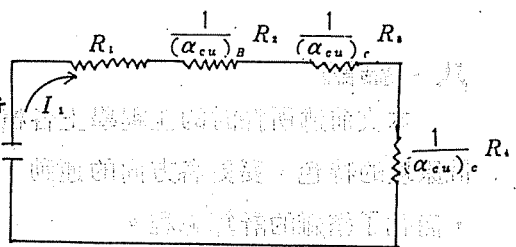


圖 7-4 b

考慮圖 7-4 a 之間題，選擇 A 部分之電路作為標準電路，則各撓性係數如下：

$$(\alpha_{cu})_3 = \frac{I_2}{I_3} = \frac{R_3 + R_4 + R_6}{R_5} \quad (1)$$

$$(\alpha_{im})_3 = \frac{1}{(\alpha_{cu})_3} = \frac{R_5}{R_3 + R_4 + R_6} \quad (2)$$

$$(\alpha_{cu})_B = \frac{I_1}{I_2} = \frac{R_6 + R_2 + (\alpha_{im})_3 (R_3 + R_4)}{R_6} \quad (3)$$

$$= \frac{(R_6 + R_2)(R_3 + R_4 + R_5) + R_5(R_3 + R_4)}{R_6(R_3 + R_4 + R_5)} \quad (4)$$

$$(\alpha_{cu})_C = \frac{I_1}{I_3} = \frac{I_1}{I_2} \times \frac{I_2}{I_3} = (\alpha_{cu})_B (\alpha_{cu})_3 \quad (5)$$

$$= \frac{(R_6 + R_2)(R_3 + R_4 + R_5) + R_5(R_3 + R_4)}{R_5 R_6} \quad (6)$$

根據上面所得之 $(\alpha_{c,u})_B$ 及 $(\alpha_{c,u})_C$ ，畫撓曲線路圖於圖 7-4 b，而求得 $I_1, I_2, I_3 \dots$

$$I_1 = \frac{1}{R_1 + \frac{1}{(\alpha_{c,u})_B} R_2 + \frac{1}{(\alpha_{c,u})_C} (R_3 + R_4)}$$

$$I_2 = \frac{I_1}{(\alpha_{c,u})_B}$$

$$I_3 = \frac{I_1}{(\alpha_{c,u})_C}$$

八、結論

本文前述所探討的工程學上各種問題，大部分是平面運動的問題，應用撓性空間原理的特色，變更各方向的運動，在同一直線方向，直接用代數的和或差來計算，簡化了繁雜的計算過程。

切線力定理非只限於平面運動，因此撓性空間原理，更可推廣至三度空間的運動系統，使繁雜的問題運算，更容易簡化運算，此點不容置疑尚待再更進一步之研究。

參考資料

- ① Engineering Mechanics Volume II-Dynamics Huang 6th Printing.
- ② An Introduction to Electrical Engineering Allen E. Durling.
- ③ Fluid Mechanics PAO.
- ④ Fluid Dynamics Daily.
- ⑤ General Physics Landau.